

## บทที่ 4

### ผลการทดลองและวิจารณ์ผล

#### 1. การสังเคราะห์น้ำมันระดับชั้นตัวอักษรของ Ricinoleic acid

จากการทดลองที่ 1.1 เป็นการทำปฏิกิริยาทรานส์เอสเตเทอร์ฟิเกชันน้ำมันกะหุงกับเมธานอลกีดเป็นเมทธิດเอสเตทของกรดไขมันของน้ำมันกะหุงที่มี ricinoleic acid เป็นองค์ประกอบหลัก

จากการบันทึกวิเคราะห์ NMR ตามที่ได้ทำการทดลอง (รูปที่ 3) ของน้ำมันกะหุงแสดงค่า chemical shift ที่สำคัญคือ  $-CH_2-O-$  และ  $-CH-O-$  ของไตรก๊อเลอเรตไรค์ในน้ำมันกะหุงที่ 62.1 ppm และ 69.1 ppm ค่า chemical shift ของ  $-C=O$  ของเอสเตทเทอร์ที่ 172.3 ppm , 172.8 ppm ค่า chemical shift ของ  $C-OH$  ที่ 71.5 ppm และค่า chemical shift ของ  $-C-C-$  ที่ 125.3 ppm และ 133.1 ppm ของ ricinoleic acid ในสายไตรก๊อเลอเรตไรค์ของน้ำมันกะหุง

เมื่อถูกการบันทึกวิเคราะห์ NMR ตามที่ได้ทำการทดลอง (รูปที่ 4) ของผลิตภัณฑ์ที่ได้จากการทำปฏิกิริยาทรานส์เอสเตทเทอร์ฟิเกชันของน้ำมันกะหุงที่ได้จากการทดลองที่ 1.1 จะเห็นว่าไม่ปรากฏค่า chemical shift ของ  $-CH_2-O-$  และ  $-CH-O-$  ของไตรก๊อเลอเรตไรค์ในน้ำมันกะหุงที่ 62.1 ppm , 69.1 ppm และค่า chemical shift ของ  $-C=O$  ของเอสเตทเทอร์ที่ 172.3 ppm , 172.8 ppm แต่ปรากฏค่า chemical shift ของ  $CH_2-O-$  และ  $-C=O$  ของเมทธิດเอสเตทของ ricinoleic acid อันเป็นองค์ประกอบหลักของน้ำมันกะหุงที่ 51.5 ppm และ 174.3 ppm ตามลำดับ ซึ่งจากข้อมูลของควรบันทึกวิเคราะห์ NMR ตามที่ได้ทำการทดลอง 1.1 แสดงให้เห็นว่าเกิดปฏิกิริยาทรานส์เอสเตทเทอร์ฟิเกชันของไตรก๊อเลอเรตไรค์ในน้ำมันกะหุงกับเมธานอล ได้เมทธิດเอสเตทของกรดไขมันที่มี ricinoleic acid เป็นองค์ประกอบหลักโดยไม่มีปริมาณน้ำมันกะหุงที่เหลืออยู่

จากการทดลองที่ 1.2 เป็นการทำปฏิกิริยาไอโซไซเดชันสารผลิตภัณฑ์ที่ได้จากการทดลองที่ 1.1

จากการบันทึกวิเคราะห์ NMR ตามที่ได้ทำการทดลอง 1.2 จะเห็นว่าไม่ปรากฏค่า chemical shift ของ  $-C-C-$  ที่ 125.3 ppm และ 133.1 ppm ของผลิตภัณฑ์ที่ได้จากการทดลอง 1.1 และปรากฏค่า chemical shift ของ  $\overset{\text{O}}{C}-OH$  ที่ 179.6 ppm , 177.7 ppm , 175.6 ppm ,

160.7 ppm เพิ่มขึ้น ซึ่งแสดงให้เห็นว่าเกิดผลิตภัณฑ์ชนิดใหม่ที่เป็นพาร์บอนออกซิลิกแอลกิลและขึ้นหดังจากทำปฏิกิริยาไอโซไนเซรั่นของสารผลิตภัณฑ์จากการทดลองที่ 1.1 นั้นเป็นผลมาจากการทำลายพันธะสูตรแล้วของออกซิไซด์สารตัวด้านค้างคาวเป็นการรับออกซิลิกแอลกิล แสดงว่าปฏิกิริยาไอโซไนเซรั่นเกิดขึ้นโดยสารบูรผ์ เพื่อให้ทราบว่าสารผลิตภัณฑ์ที่ได้เป็นสารชนิดใดจึงนำไปวิเคราะห์ด้วยเครื่องแก๊ส ไฮดรอนไทกราฟี-แมสส์เพกไทรเมตซ์ ซึ่งก่อนนำสารไปวิเคราะห์ต้องนำมารับประทานการทดลองที่ 6 ก่อนเพื่อยืนยันสารประกอบสารรับออกซิลิกแอลกิลเป็นเมทธิลเอสเตอร์ จากการรับอน 13 NMR สถาปัตย์ (รูปที่ 6) เมทธิลเอสเตอร์ของสารผลิตภัณฑ์จากการทดลองที่ 1.2 จะเห็นว่าไม่ปรากฏค่า chemical shift ของ  $\text{C}-\text{OH}$  ที่ 179.6 ppm , 177.7 ppm , 175.6 ppm แต่ปรากฏค่า chemical shift ของ  $\text{C}=\text{O}$  ของเมทธิลเอสเตอร์เพิ่มขึ้นที่ 170.4 ppm , 173.2 ppm แต่ที่จำนวนค่า chemical shift ของ  $\text{C}-\text{OH}$  ที่ลดลงน้อยกว่าจำนวนค่า chemical shift ของ  $\text{C}=\text{O}$  ที่เพิ่มขึ้นเนื่องจากว่ามีค่า chemical shift ของ  $\text{C}=\text{O}$  ของเมทธิลเอสเตอร์มากชนิดที่อยู่ในสารผลิตภัณฑ์มีค่าเท่ากัน ส่วนค่า chemical shift ที่ 160.7 ppm นั้นเป็นของกรดฟอร์นิก และปรากฏค่า chemical shift ของ  $\text{O}-\text{CH}_3$  ที่ 51.4 ppm , 51.5 ppm แสดงว่ามีเมทธิลเอสเตอร์มากกว่าหนึ่งชนิดภายในสารผลิตภัณฑ์ที่ได้

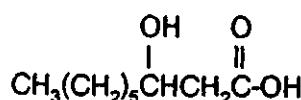
การวิเคราะห์ด้วยเครื่องแก๊สไฮดรอนไทกราฟี-แมสส์เพกไทรเมตซ์ ปรากฏว่าจากแก๊สไฮดรอนไทแกรม (รูปที่ 7) ของสารผลิตภัณฑ์ที่ได้จากการทดลองที่ 1.2 แสดงพิกัดลักษณะเดียวกันที่รีเกนชั่นไทน์ 5.7 , 6.3 และ 7.0 แสดงให้เห็นว่าสารผลิตภัณฑ์ที่ได้จากการทดลองที่ 1.2 ประกอบด้วยสารหลัก 3 ชนิด และเมื่อนำแมสส์เพกตัมของสารทั้ง 3 ชนิดไปเบรินเทิบกับแมสส์เพกตัมในฐานข้อมูล ปรากฏว่าสามารถระบุได้แน่นอนเพียงชนิดเดียวคือ nonanedioic acid dimethyl ester อันเป็นสารที่ปรากฏเมื่อพิคที่ 3 ใน แก๊สไฮดรอนไทแกรม (รูปที่ 7) ตัวน้ำสารอิกซ์อยด์ชนิดไม่สามารถระบุได้ จึงนำสารผลิตภัณฑ์ที่ได้มาแยกสารองค์ประกอบด้วยวิธีคอตัม์ไฮดรอนไทกราฟี

การแยกสารองค์ประกอบด้วยวิธีคอตัม์ไฮดรอนไทกราฟีโดยใช้ชีลิกาเจต วี 60 เมื่อตัวอุดชั่นและใช้อิเทอร์ฟลูมกับเทกเชนในอัตราส่วน 1:1 เป็นตัวชี้ตอนการทดลองที่ 3 จะได้สารตั้งต้นไปนี้

เมทธิลเอสเตอร์ของกรดไขมันขนาดยาวถูกจะออกมานเป็นกลุ่มแรกโดยทราบได้จากการนำไปวิเคราะห์ด้วยเครื่อง NMR แล้วน้ำ ควรรับอน 13 NMR สถาปัตย์ (รูปที่ 8) ไปเบรินเทิบกับการรับอน 13 NMR สถาปัตย์ (รูปที่ 9) บริบูรณ์เทิบกับแก๊ส ไฮดรอนไทกราฟีของเมทธิลเอสเตอร์ของกรดไขมันขนาดยาว (รูปที่ 9) บริบูรณ์เทิบกับแก๊ส ไฮดรอนไทแกรมของสารผลิตภัณฑ์ที่ได้จากการทดลองที่ 1.2 (รูปที่ 7) ปรากฏว่าไม่ใช้สารองค์ประกอบหลักหนึ่งในสามของสารผลิตภัณฑ์ที่ได้จากการทดลองที่ 1.2

nonanedioic acid monomethyl ester เป็นสารชนิดที่สองที่ได้จากการแยกสารองค์ประกอบด้วยวิธีคอลัมน์ไฮดรอกามาไกกราฟฟิ ซึ่งทราบได้จากการวิเคราะห์ด้วย NMR แก๊สไฮดรากามาไกกราฟฟิ และ แก๊สไฮดรากามาไกกราฟฟิ-แมสสเปกไทรเมติวิ จากแก๊สไฮดรากามาไกแกรน (รูปที่ 10) ของสารชนิดนี้ เปรียบเทียบกับแก๊สไฮดรากามาไกแกรน (รูปที่ 7) ของสารผลิตภัณฑ์ที่ได้จากการทดลอง 1.2 และคงให้เห็นว่าสารชนิดนี้เป็นองค์ประกอบหลักหนึ่งในสารของสารผลิตภัณฑ์ที่ได้จากการทดลอง 1.2 คือ เป็นพิกที่ 3 ของแก๊สไฮดรากามาไกแกรนของสารผลิตภัณฑ์ที่ได้จากการทดลอง 1.2 และเมื่อทำการวิเคราะห์ด้วยเครื่องแก๊สไฮดรากามาไกกราฟฟิ-แมสสเปกไทรเมติวิของสารชนิดนี้เมื่อถูกแยก สเปกตรัมของสารชนิดนี้เปรียบเทียบกับแมสสเปกตรัมในรูปข้อมูล (รูปที่ 11) ปรากฏว่าสารนี้จะมีค่า nonanedioic acid dimethyl ester และจากค่านอน 13 NMR สเปกตรัมของสารชนิดนี้ (รูปที่ 12) มีค่า chemical shift ที่สำคัญคือของ  $-C=O$  ที่ 174.5 ppm ,  $\overset{\text{O}}{C}-OH$  ที่ 179.8 ppm และ  $-O-CH_3$  ที่ 51.3 ppm และคงให้เห็นว่าสารชนิดนี้มีส่วนที่เป็นการรับออกซิเจนและมีส่วนที่เป็น methyl ester เทอร์ออย่างในไม้เด็กติดเทา กัน

3-hydroxy nonanoic acid เป็นสารชนิดสุดท้ายที่ได้จากการแยกสารองค์ประกอบด้วยวิธีคอลัมน์ไฮดรากามาไกกราฟฟิ ซึ่งทราบได้จากการวิเคราะห์ด้วย NMR แก๊สไฮดรากามาไกกราฟฟิ และ แก๊สไฮดรากามาไกกราฟฟิ-แมสสเปกไทรเมติวิ จากแก๊สไฮดรากามาไกแกรน (รูปที่ 13) ของสารชนิดนี้ เปรียบเทียบกับแก๊สไฮดรากามาไกแกรน (รูปที่ 7) ของสารผลิตภัณฑ์ที่ได้จากการทดลอง 1.2 และคงให้เห็นว่าสารชนิดนี้เป็นองค์ประกอบหลักหนึ่งในสารชนิดของสารผลิตภัณฑ์ที่ได้จากการทดลอง 1.2 คือ เป็นพิกที่ 1 ของแก๊สไฮดรากามาไกแกรนของสารผลิตภัณฑ์ที่ได้จากการทดลอง 1.2 และจากค่านอน 13 NMR สเปกตรัมของสารชนิดนี้ (รูปที่ 14) มีค่า chemical shift ที่สำคัญคือของ  $-C-OH$  ที่ 68.1 ppm ,  $\overset{\text{O}}{C}-OH$  ที่ 177.9 ppm ,  $-CH_3$  ที่ 14.0 ppm และ  $-CH_2$  ที่ 41.1 ppm , 36.4 ppm , 33.9 ppm , 29.1 ppm , 25.3 ppm และ 22.5 ppm และคงให้เห็นว่าสารชนิดนี้ประกอบด้วยคาร์บอนทั้งหมด 9 อะตอม และจากค่านอน 13 NMR DEPT 135 สเปกตรัม (รูปที่ 15) ของสารชนิดนี้แสดงให้เห็นว่ามี  $CH$  และ  $CH_3$  ทั้งหมด 2 อะตอมคือ chemical shift ที่ 68.1 ppm , 14.0 ppm และมี  $CH_2$  ทั้งหมด 6 อะตอมคือ chemical shift ที่ 41.1 ppm , 36.4 ppm , 33.9 ppm , 29.1 ppm , 25.3 ppm และ 22.5 ppm ซึ่งสอดคล้องกับโครงสร้างของ 3-hydroxy nonanoic acid (ได้สาร 69.14%)



โครงสร้างของ 3-hydroxy nonanoic acid

## 2. การสังเคราะห์แอลฟ่า-ไอครอกซิการ์บอนิกอะซิด

จากการทดลองที่ 2.1 เป็นการทำปฏิกิริยาทรานส์เอสเตเทอโรฟิเกชันน้ำมันละหุ่งกับเมทราโนติกเป็นเมทธิลเอสเตทของกราไนน์ในน้ำมันละหุ่งซึ่งมี ricinoleic acid เป็นองค์ประกอบหลัก

จากการบันทึก NMR スペกตรัม (รูปที่ 3) ของน้ำมันละหุ่งแสดงค่า chemical shift ที่สำคัญคือ -CH<sub>2</sub>-O- และ -CH-O- ของไครอกลิเซอร์ไรค์ของน้ำมันละหุ่งที่ 62.1 ppm และ 69.1 ppm ค่า chemical shift ของ -C=O ของเอสเตทอย์ที่ 172.3 ppm , 172.8 ppm ค่า chemical shift ของ C-OH ที่ 71.5 ppm และค่า chemical shift ของ -C=C- ที่ 125.3 ppm และ 133.1 ppm ของ ricinoleic acid ในภายใต้กรดโซเดียมที่บ่อน้ำมันละหุ่ง

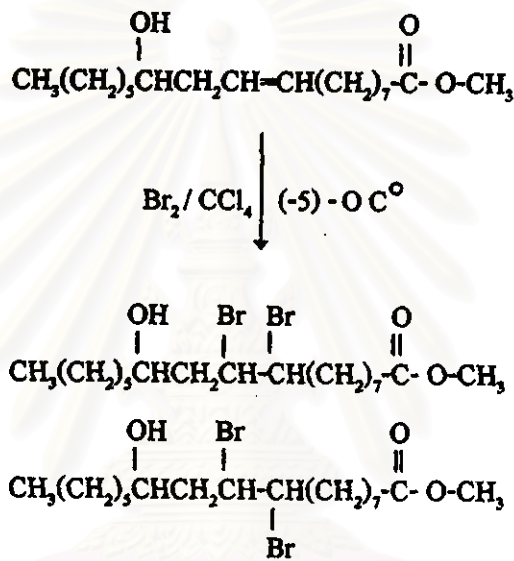
เมื่อถูกทำการบันทึก NMR スペกตรัม (รูปที่ 16) ของผลิตภัณฑ์ที่ได้จากการทำปฏิกิริยาทรานส์เอสเตทอย์เกชันของน้ำมันละหุ่งที่ได้จากการทดลองที่ 2.1 จะเห็นว่าไม่ปรากฏค่า chemical shift ของ -CH<sub>2</sub>-O- และ -CH-O- ของไครอกลิเซอร์ไรค์ในน้ำมันละหุ่งที่ 62.1 ppm , 69.1 ppm และค่า chemical shift ของ -C=O ของเอสเตทอย์ที่ 172.3 ppm , 172.8 ppm และปรากฏค่า chemical shift ของ CH<sub>2</sub>-O- และ -C=O ของเมทธิลเอสเตทของ ricinoleic acid อันเป็นองค์ประกอบหลักของน้ำมันละหุ่งที่ 51.5 ppm และ 174.3 ppm ตามลำดับ ซึ่งจากข้อมูลของการบันทึก NMR スペกตรัม ดังกล่าวแสดงให้เห็นว่าเกิดปฏิกิริยาทรานส์เอสเตทอย์เกชันของไครอกลิเซอร์ไรค์ในน้ำมันละหุ่งกับเมทราโนติก ได้เมทธิลเอสเตทของกราไนน์ที่มี ricinoleic acid เป็นองค์ประกอบหลักโดยสมบูรณ์

จากการทดลองที่ 2.2 เป็นการทำปฏิกิริยาในรัฐเนชั่นส์สารผลิตภัณฑ์ที่ได้จากการทดลองที่ 2.1 จากการบันทึก NMR スペกตรัม (รูปที่ 17) ของสารผลิตภัณฑ์ที่ได้จากการทดลองที่ 2.2 จะเห็นว่าไม่ปรากฏค่า chemical shift ของ -C=C- ของ ricinoleic methylester ที่เป็นองค์ประกอบหลักของสารผลิตภัณฑ์ที่ได้จากการทดลองที่ 2.1 ที่ 125.3 ppm และ 133.1 ppm และปรากฏค่า chemical shift ของ -C-Br ที่ 60.1 ppm , 58.7 ppm , 56.7 ppm และ 55.5 ppm ของสารผลิตภัณฑ์ที่ได้จากการทดลองที่ 2.2 และแสดงให้เห็นว่าเกิดปฏิกิริยาในรัฐเนชั่นส์ได้สมบูรณ์

จากการบันทึก NMR スペกตรัม (รูปที่ 17) ของสารผลิตภัณฑ์ที่ได้จากการทดลองที่ 2.2 ปรากฏว่ามีค่า chemical shift ของ -C-OH 2 ค่าคือที่ 69.8 ppm , 69.3 ppm และมีค่า chemical shift ของ -C-Br 4 ค่าคือที่ 60.1 ppm , 58.7 ppm , 56.7 ppm และ 55.5 ppm ตามลำดับ โดย



ที่ intensity ของ chemical shift ของ -C-OH ทั้งสองค่านี้แตกต่างกันและ intensity ของ chemical shift -C-Br มีค่าใกล้เคียงกันสองชุดคือ 60.1 ppm กับ 56.7 ppm และ 58.7 ppm กับ 55.5 ppm แสดงว่าการรับอน 13 NMR スペกตรัมของสารผลิตภัณฑ์ที่ได้จากการทดลอง 2.2 เกิดจากสารสองชนิดและจะนิคประกอบด้วยหมู่ไฮดรอกซิล 1 หมู่และไบรานิน 2 หมู่ ซึ่งเป็นไปได้ว่าการเกิดปฏิกิริยาในรัมเนชั่นของ ricinoleic methylester ที่เป็นองค์ประกอบหลักในการผลิตภัณฑ์จากการทดลอง 2.1 ได้สารผลิตภัณฑ์สองชนิดที่เป็นไฮดรอกซิล



สมการที่ 11

จากการทดลองที่ 2.3 เมื่อบรู๊ฟิชต์ไฮดรอเจน化แล้วด้วย alcoholic KOH สารผลิตภัณฑ์ที่ได้จากการทดลองที่ 2.2

เมื่อยุ่งจากการรับอน 13 NMR スペกตรัม (รูปที่ 18) ของสารผลิตภัณฑ์จากการทดลองที่ 2.3 แสดงค่า chemical shift ที่สำคัญคือของ  $-\overset{\text{O}}{\text{C}}\text{-OH}$  ที่ 179.7 ppm ค่า chemical shift ของ  $-\text{C}=\text{C}-$  ที่ 132.1 ppm , 130.5 ppm , 124.6 ppm และ 124.1 ppm ค่า chemical shift ของ  $-\text{C}-\text{OH}$  ที่ 71.1 ppm , 69.1 ppm และไม่ปรากฏค่า chemical shift ของ  $-\text{C}-\text{Br}$  ทั้ง 4 ค่าคือที่ 60.1 ppm , 58.7 ppm , 56.7 ppm และ 55.5 ppm ซึ่งด้านปฏิกิริยาด้วยไฮดรอเจน化ด้วย alcoholic KOH เป็นไปตามสมการที่ 5 จะได้สารผลิตภัณฑ์คือ



1 2-6 7 8 9 10 11 12-17 18

จะเห็นว่าเกิดพันธะคู่ในตัวนยอะโคนจูเกตกัน เมื่อนำไปวิเคราะห์ด้วยเครื่อง NMR ควรจะได้คาร์บอน 13 NMR สเปกตรัมที่มีค่า chemical shift ของ  $-C=C-$  ของคาร์บอนลำดับที่ 11 ควรมีค่ามากที่สุดและค่า chemical shift ของคาร์บอนลำดับที่ 8 ควรมีค่าน้อยที่สุด โดยมีค่า chemical shift ของคาร์บอนลำดับที่ 9 และ 10 มีค่าใกล้เคียงกันอย่างกลางระหว่างค่า chemical shift ของคาร์บอนลำดับที่ 8 และ 11 อีกทั้งค่า chemical shift ของคาร์บอนลำดับที่ 8, 9, 10 และ 11 ควรมี intensity ใกล้เคียงกันและควรมีค่า chemical shift ของ  $-C-OH$  เพียงค่าเดียว แต่จากคาร์บอน 13 NMR สเปกตรัม (รูปที่ 18) ของสารผลิตภัณฑ์ที่ได้จากการทดสอบ 2.3 ปรากฏว่าไม่สอดคล้องกับข้อสันนิฐานซึ่งดังกล่าวคือเมื่อค่า chemical shift ของ  $-C-OH$  สองค่าคือที่ 71.1 ppm, 69.1 ppm และมีค่า chemical shift ของ  $-C=C-$  สองค่าคือที่ 132.1 ppm, 130.5 ppm, 124.6 ppm และ 124.1 ppm ที่มี intensity แตกต่างกัน อีกประการหนึ่งคือค่า chemical shift ของ  $-C=C-$  ที่มีค่าใกล้เคียงกับความมีค่าอยู่กึ่งกลางระหว่างค่า chemical shift ที่มีค่าสูงสุดและต่ำสุด แต่จากคาร์บอน 13 NMR สเปกตรัมที่ได้กลับเป็นค่า chemical shift ของ  $-C=C-$  ต่ำสุดสองค่าแรกที่มีค่าใกล้เคียงกัน จึงไม่อาจสรุปได้ว่าสารผลิตภัณฑ์ที่ได้จากการทดสอบ 2.3 เกิดพันธะคู่ในตัวนยอะโคนจูเกตกันตามสมการที่ 5

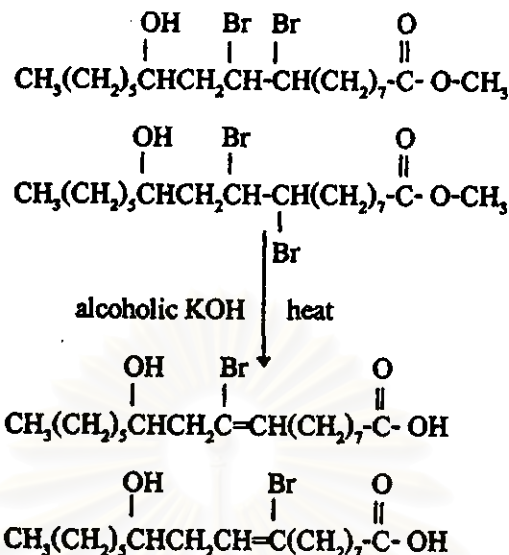
จากการทดสอบที่ 2.4 เป็นการทำปฏิกิริยาไอโซไนเซรั่นสารผลิตภัณฑ์ที่ได้จากการทดสอบที่ 2.3

จากคาร์บอน 13 NMR สเปกตรัม (รูปที่ 19)ของผลิตภัณฑ์ที่ได้จากการทดสอบ 2.4 จะเห็นว่าไม่ปรากฏค่า chemical shift ที่สำคัญคือของ  $-C=C-$  ที่ 132.1 ppm, 130.5 ppm, 124.6 ppm และ 124.1 ppm ของผลิตภัณฑ์ที่ได้จากการทดสอบ 2.3 และปรากฏค่า chemical shift ของ  $\text{O}-C-OH$  ที่ 179.6 ppm, 177.6 ppm, 175.4 ppm, 174.4 ppm, 173.4 ppm, 160.7 ppm เพิ่มขึ้นมาแสดงให้เห็นว่าเกิดผลิตภัณฑ์ชนิดใหม่ที่เป็นพวกคาร์บอโนไซดิกาลอกซิคซึ่งหลังจากทำปฏิกิริยาไอโซไนเซรั่นของสารผลิตภัณฑ์จากการทดสอบที่ 2.3 ซึ่งเป็นผลมาจากการทำลายพันธะคู่แล้วของออกซิไซด์สารตั้งต้นดังกล่าวเป็นการบอนอกซิດิกากซิค แสดงว่าปฏิกิริยาสมบูรณ์ และปรากฏค่า chemical shift ของ  $-C-OH$  ที่ 70.6 ppm, 70.4 ppm, 68.1 ppm, 68.0 ppm และแสดงว่าสารผลิตภัณฑ์ที่ได้จากการทดสอบ 2.4 ประกอบด้วยสารที่มีหมุ่ไอครอกรซิก(OH)อยู่ภายในผลิตภัณฑ์ 4 ชนิด และเพื่อให้ทราบว่าสารผลิตภัณฑ์ที่ได้เป็นสารชนิดใดจึงนำไปวิเคราะห์ด้วยเครื่องแก๊สโ�ร์นาไทกราฟฟิ-แมสสเปกไทร์ซึ่งก่อนนำสารไปวิเคราะห์ต้องนำมาราบบีดตามการทดสอบที่ 6 ก่อนเพื่อเปลี่ยนสารประกอบการบอนอกซิດิกากซิคเป็นเมทธิลเอสเทอร์ จากคาร์บอน 13 NMR สเปกตรัม (รูปที่ 20) ของเมทธิลเอสเทอร์ของสารผลิตภัณฑ์จากการทดสอบที่ 2.4 จะเห็นว่าไม่ปรากฏค่า chemical shift ของ  $\text{O}-C-OH$  ที่ 179.6 ppm, 177.6 ppm, 175.4 ppm และปรากฏค่า chemical shift ของ  $-C=O$  ที่ 172.9

ppm , 173.4 ppm , 174.3 ppm และค่า chemical shift ของ -O-CH<sub>3</sub> ที่ 51.4 ppm , 51.5 ppm แสดงว่ามี เมทธิลออกซิโตร์บานชนิดภายในสารผลิตภัณฑ์ที่มีค่า chemical shift ของ -O-CH<sub>3</sub> ต่างจากเมทธิลออกซิโตร์บานชนิดอื่นภายในผลิตภัณฑ์ จากผลดังกล่าวแสดงว่าได้สารผลิตภัณฑ์ที่ได้เป็นเมทธิลออกซิโตร์บานชนิดค่า chemical shift ที่ 160.7 ppm ยังปรากฏอยู่เป็นของกรดฟอร์มิก

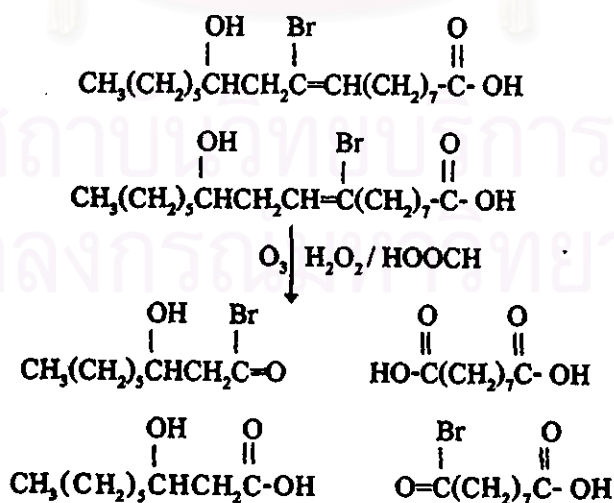
การวิเคราะห์ด้วยเครื่องแก๊สไกโรนาไกกราฟี-แมสสเปกไทรเมต ปรากฏว่าจากแก๊สไกโรนาไกแกรม(รูปที่ 21) ของสารผลิตภัณฑ์ที่ได้จากการทดสอบที่ 2.4 แสดงพีคหลัก 3 พีคคือที่ รีเทนชั่นไทน์ 5.8 , 6.3 และ 7.1 แสดงให้เห็นว่าสารผลิตภัณฑ์ที่ได้จากการทดสอบที่ 2.4 ประกอบด้วยสารหลัก 3 ชนิด และเมื่อนำมาสเปกตรัมของสารทั้ง 3 ชนิดไปเปรียบเทียบกับแมสสเปกตรัมในฐานข้อมูล ปรากฏว่าสามารถระบุได้แน่นอนเพียงชนิดเดียวคือ nonanedioic acid dimethyl ester (รูปที่ 22) อันเป็นพีคที่ 3 ใน แก๊สไกโรนาไกแกรมของสารผลิตภัณฑ์ที่ได้จากการทดสอบที่ 2.4 ตัวน้ำสารอิกซ์ของชนิดไม่สามารถระบุได้ แต่เมื่อนำมาดูวิเคราะห์ด้วยเครื่อง แก๊สไกโรนาไกกราฟี-แมสสเปกไทรเมต ของสารผลิตภัณฑ์ที่ได้จากการทดสอบที่ 2.4 ไปเปรียบเทียบกับผลการวิเคราะห์ด้วยเครื่องแก๊สไกโรนาไกกราฟี-แมสสเปกไทรเมตของสารผลิตภัณฑ์ที่ได้จากการทดสอบที่ 2.4 ไปเปรียบเทียบกับผลการทดสอบที่ 1.2 ปรากฏว่าเหมือนกันคือจากแก๊สไกโรนาไกแกรม(รูปที่ 16) ของสารผลิตภัณฑ์ที่ได้จากการทดสอบ 1.2 แสดงพีคหลัก 3 พีคคือรีเทนชั่นไทน์ ที่ 5.7 , 6.3 และ 7.0 แสดงว่าประกอบด้วยสารหลัก 3 ชนิด และเมื่อนำมาสเปกตรัมของสารทั้ง 3 ชนิดที่เป็นองค์ประกอบของสารผลิตภัณฑ์ที่ได้จากการทดสอบ 1.2 เปรียบเทียบกับแมสสเปกตรัมของสารทั้ง 3 ชนิดที่เป็นองค์ประกอบของสารผลิตภัณฑ์ที่ได้จากการทดสอบ 2.4 ปรากฏว่าเหมือนกัน (รูปที่ 23.1, 23.2, 23.3) แสดงว่าสารผลิตภัณฑ์หลักที่ได้จากการทดสอบ 1.2 และการทดสอบ 2.4 เป็นชนิดเดียวกัน

จากผลการวิเคราะห์ด้วยเครื่องแก๊สไกโรนาไกกราฟี-แมสสเปกไทรเมต ของสารผลิตภัณฑ์ที่ได้จากการทดสอบ 2.4 สามารถระบุสารได้แน่นอนชนิดหนึ่งคือ nonanedioic acid dimethyl ester ซึ่งจะทำให้สามารถอธิบายผลการวิเคราะห์ด้วยเครื่อง NMR ของสารผลิตภัณฑ์ที่ได้จากการทดสอบ 2.3 ที่ไม่สอดคล้องกับสมการที่ 5 จากผลการวิเคราะห์ดังกล่าวแสดงว่าสารตั้งต้นในการทำปฏิกิริยาโดยใช้ไนเตรชั่น ในการทดสอบที่ 2.4 มีพันธะอ่อนตัวในตำแหน่งที่ 9 ของสายcarboxon ซึ่งทำให้ผลิตภัณฑ์ที่ได้อ่อนตัวน้อยหนึ่งชนิดเป็นการรับออกซิเจนและออกซิเจนที่มีการรับอน 9 อะตอม ดังนั้นการเกิดปฏิกิริยาโดยใช้ไนเตรชั่น ด้วย alcoholic KOH ในการทดสอบที่ 2.3 ควรเป็นตั้งสมการที่ 12



สมการที่ 12

จากสมการที่ 12 ผลิตภัณฑ์ที่ได้จะต้องดึงกับผลการวิเคราะห์คุณภาพ NMR ของสาร ผลิตภัณฑ์ที่ได้จากการทดลอง 2.3 ที่ คาร์บอน 13 NMR スペกตรัม (รูปที่ 18) มีค่า chemical shift ของ -C-OH 2 ค่าคือที่ 71.1 ppm , 69.1 ppm เกิดจากสาร 2 ชนิดที่มีหน่วยครอฟลูติก 1 หน่วย แต่ละค่า chemical shift ของ -C=C- ที่มี intensity แตกต่างกันเพราะว่าในสารผลิตภัณฑ์ที่ได้จากการทดลอง 2.3 ประกอบด้วยสาร 2 ชนิดที่มีพันธะคู่หนึ่งพันธะอยู่ในสามควรบอน เมื่อสารผลิตภัณฑ์ที่ได้จากการทดลองที่ 2.3 เป็นไปตามสมการที่ 12 ดังนั้นเมื่อทำปฏิกิริยาให้ในเชิงชั้นตามการทดลองที่ 2.4 ผลิตภัณฑ์ที่ได้จะเป็นไปตามสมการที่ 13



สมการที่ 13

ชื่อ



จะถูกไฮโคล์ไดซ์ตัวหนึ่งที่เกิดภายในกระบวนการทดสอบที่ 2.4 เกิดเป็นสารบูรออกซิດและซิค

คือ



จากนั้นนำมาทำปฏิกิริยาตามการทดสอบที่ 6 เพื่อเปลี่ยนสารผลิตภัณฑ์จากการทดสอบที่ 2.4 ให้อยู่ในรูปเมทิลเอสเทอร์เพื่อนำไปวิเคราะห์ด้วยเครื่อง GC-MS ได้ผลิตภัณฑ์ดังสมการที่ 14



สมการที่ 14

ดังนั้นผลิตภัณฑ์หลักที่ได้จากการทดสอบที่ 2.4 จึงเหมือนกับผลิตภัณฑ์หลักที่ได้จากการทดสอบที่ 1.2 เมื่ออยู่ในรูปเมทิลเอสเทอร์ซึ่งจะลดลงถ้าทำการวิเคราะห์ด้วยแก๊สโกรามาไกกราฟฟิ-แมสต์ เปaker ไทรเมติ

จากการทดสอบที่ 4 เป็นการทำปฏิกิริยาไอโซไซนีเซชันน้ำมันละหุ่ง

จากการบันทึก NMR スペกตรัม (รูปที่ 24) ของผลิตภัณฑ์ที่ได้จากการทดสอบที่ 4 จะเห็นว่าไม่ปรากฏค่า chemical shift ของ  $-\text{C=C-}$  ที่ 125.3 ppm และ 133.1 ppm ของน้ำมันละหุ่งแต่ปรากฏค่า chemical shift ของ  $-\overset{\text{O}}{\text{C}}\text{-OH}$  ที่ 160.2 ppm, 175.1 ppm, 177.2 ppm, 179.2 ppm เพิ่มขึ้นซึ่งแสดงให้เห็นว่าเกิดผลิตภัณฑ์ชนิดใหม่ที่เป็นพวกสารบูรออกซิດซึ่งแตกต่างจากทำปฏิกิริยาไอโซไซนีเซชันน้ำมันละหุ่งซึ่งเป็นผลมาจากการทำลายพันธะกับออกซิไดซ์สารตั้งต้นดังกล่าวเป็นการบูรออกซิດและซิค แสดงว่าปฏิกิริยาไอโซไซนีเซชันเกิดขึ้นโดยสมบูรณ์ นอกจากนี้ยังปรากฏค่า chemical shift ของ  $-\text{C=O}$  เพิ่มขึ้นที่ 200.3 ppm

จากการบันทึก NMR スペกตรัม (รูปที่ 24) ของผลิตภัณฑ์ที่ได้จากการทดสอบที่ 4 พบว่ามีค่า chemical shift ของ  $-\text{C-OH}$  ที่ 3 ค่าและมี intensity แตกต่างกันคือที่ 65.1 ppm, 68.2 ppm, 70.1 ppm ซึ่งแสดงว่าภายในสารผลิตภัณฑ์ที่ได้จากการทดสอบที่ 4 ประกอบด้วย

สารที่มีหมู่ไอกอชิต 1 ตำแหน่งจำนวน 3 หน่วย จึงไม่อาจสูปได้ว่าสารผลิตภัณฑ์ที่ได้จากการทดสอบที่ 4 เป็นไปตามสมการที่ 7

จากการทดสอบที่ 5.1 เป็นการทำปฏิกิริยาทรานส์เอสเตเทอร์ฟิเกชันน้ำมันมะหุงกับเมทราโนลิกเป็นเมทธิดเอสเตเทอร์ของกรดไขมันของน้ำมันมะหุงที่มี ricinoleic acid เป็นองค์ประกอบหลัก

จากการวิเคราะห์  $^{13}\text{NMR}$  สเปกตรัม (รูปที่ 3) ของน้ำมันมะหุงแสดงค่า chemical shift ที่สำคัญคือ  $-\text{CH}_2\text{-O-}$  และ  $-\text{CH-O-}$  ของไครอกีเซอร์ไพร์สในน้ำมันมะหุงที่ 62.1 ppm และ 69.1 ppm ค่า chemical shift ของ  $-\text{C=O}$  ของเอสเตเทอร์ที่ 172.3 ppm , 172.8 ppm ค่า chemical shift ของ  $\text{C-OH}$  ที่ 71.5 ppm และค่า chemical shift ของ  $-\text{C-C-}$  ที่ 125.3 ppm และ 133.1 ppm ของ ricinoleic acid ในสายไครอกีเซอร์ไพร์สในน้ำมันมะหุง

เมื่อถูกจัดการวิเคราะห์  $^{13}\text{NMR}$  สเปกตรัม (รูปที่ 25) ของผลิตภัณฑ์ที่ได้จากการทำปฏิกิริยาทรานส์เอสเตเทอร์ฟิเกชันของน้ำมันมะหุงที่ได้จากการทดสอบที่ 1.1 จะเห็นว่าไม่ปรากฏค่า chemical shift ของ  $-\text{CH}_2\text{-O-}$  และ  $-\text{CH-O-}$  ของไครอกีเซอร์ไพร์สในน้ำมันมะหุงที่ 62.1 ppm , 69.1 ppm และค่า chemical shift ของ  $-\text{C=O}$  ของเอสเตเทอร์ที่ 172.3 ppm , 172.8 ppm และปรากฏค่า chemical shift ของ  $\text{CH}_2\text{-O-}$  และ  $-\text{C=O}$  ของเมทธิดเอสเตเทอร์ของ ricinoleic acid อันเป็นองค์ประกอบหลักของน้ำมันมะหุงที่ 51.5 ppm และ 174.3 ppm ตามลำดับ ซึ่งจากข้อมูลของการวิเคราะห์  $^{13}\text{NMR}$  สเปกตรัม ผังส่วนๆแสดงให้เห็นว่าเกิดปฏิกิริยาทรานส์เอสเตเทอร์ฟิเกชันของไครอกีเซอร์ไพร์สในน้ำมันมะหุงกับเมทราโนล ได้เมทธิดเอสเตเทอร์ของกรดไขมันที่มี ricinoleic acid เป็นองค์ประกอบหลักโดยสมบูรณ์

จากการทดสอบที่ 5.2 เป็นการมีองค์กันหมู่ไอกอชิต(-OH) ของผลิตภัณฑ์ที่ได้จากการทดสอบที่ 5.1 ด้วยเบนโซอิดคลอไรด์

จากการวิเคราะห์  $^{13}\text{NMR}$  สเปกตรัม (รูปที่ 26) ของผลิตภัณฑ์ที่ได้จากการทดสอบที่ 5.1 และค่าคู่สูญเสียที่ความถี่  $3500\text{-}3200 \text{ cm}^{-1}$  ของ O-H เมื่อนำสารผลิตภัณฑ์ที่ได้จากการทดสอบที่ 5.1 ทำปฏิกิริยาตามการทดสอบที่ 5.2 แล้วนำสารผลิตภัณฑ์ที่ได้ไปวิเคราะห์ด้วยเครื่อง FT-IR (รูปที่ 27) ไม่ปรากฏค่าคู่สูญเสียที่ความถี่  $3500\text{-}3200 \text{ cm}^{-1}$  ของ O-H และเมื่อถูกจัดการวิเคราะห์  $^{13}\text{NMR}$  สเปกตรัม (รูปที่ 28) ของผลิตภัณฑ์ที่ได้จากการทดสอบที่ 5.2 จะเห็นว่าปรากฏค่า chemical shift ของ C-O ที่ 74.5 ppm และไม่ปรากฏค่า chemical shift ของ C-OH ที่ 71.5 ppm ของผลิตภัณฑ์ที่ได้จากการทดสอบที่ 5.1 นองจากนี้ซึ่งปรากฏค่า chemical shift ของวงแหวนบนชีนที่ 128.8 ppm, 130.3 ppm, 134.2 ppm

และค่า chemical shift ของ C=O ที่ 162.3 ppm ของเเบนโซอิดที่อยู่ในไม้เดกุลงของการผลิตภัณฑ์ที่ได้จากการทดลองที่ 5.2 แสดงว่าการทำปฏิกิริยาการป้องกันหมู่ไออกซิค (-OH) ของการผลิตภัณฑ์ที่ได้จากการทดลองที่ 5.1 เกิดโดยสารบุราณ์ นอกจากนี้ยังปรากฏค่า chemical shift ของ C=O ที่ 166 ppm และค่า chemical shift ของวงแหวนเบนซินที่ 127.9 ppm, 129 ppm, 130.5 ppm แสดงว่ายังมีเเบนโซอิດคงไว้เหลืออยู่ในการผลิตภัณฑ์ที่ได้จากการทดลองที่ 5.2

จากการทดลองที่ 5.3 เป็นการทำปฏิกิริยาไอโซไซโนเซชันสารผลิตภัณฑ์ที่ได้จากการทดลองที่ 5.2

จากการวิเคราะห์ NMR スペกตรัม (รูปที่ 29) ของผลิตภัณฑ์ที่ได้จากการทดลอง 5.3 จะเห็นว่าไม่ปรากฏค่า chemical shift ของ -C=C- ที่ 124 ppm และ 132.9 ppm ของผลิตภัณฑ์ที่ได้จากการทดลอง 5.2 และปรากฏค่า chemical shift ของ  $\text{C}=\text{O}$  ที่ 180 ppm, 176.4 ppm เพิ่มขึ้นซึ่งแสดงให้เห็นว่าเกิดผลิตภัณฑ์ชนิดใหม่ที่เป็นพากการบองซิลิกแอลูมิเนียมหลังจากทำการปฏิกิริยาไอโซไซโนเซชันสารผลิตภัณฑ์จากการทดลองที่ 5.2 นั้นเป็นผลมาจากการทำลายพันธะกุ่มแล้วของอกริชไดซ์ สารตึงตื้นดังกล่าวเป็นการบองซิลิกแอลูมิเนียม แสดงว่าปฏิกิริยาไอโซไซโนเซชันเกิดขึ้นโดยสารบุราณ์ นอกจากนี้ยังปรากฏค่า chemical shift ของ C=O ที่ 171.9 ppm ของเเบนโซอิดที่อยู่ในไม้เดกุลงของการผลิตภัณฑ์ที่ได้จากการทดลองที่ 5.3 และค่า chemical shift ของ C-OH ที่ 71 ppm และให้เห็นว่าภายในสารผลิตภัณฑ์ที่ได้จากการทดลองที่ 5.3 มีสารที่ประกอบด้วยหมู่ไออกซิค(-OH) 1 ตัวแทนงเพียงชนิดเดียว

สถาบันวิทยบริการ  
จุฬาลงกรณ์มหาวิทยาลัย